Исследование биосовместимости и ангиогенеза in vivo на модели хориоаллантоисной оболочки куриного эмбриона образцов для имплантационной хирургии на основе титана и его сплавов

В.С. Боташева¹, А.А. Долгалев¹, Д.Ю. Христофорандо¹, С.Н. Гаража¹, М.С. Воробьев², Д.З. Чониашвили³, В.В. Садовский В.М. Аванисян Г.К. Гезуев

- 1 ФГБОУ ВО «Ставропольский государственный медицинский университет» Министерства здравоохранения Российской Федерации, Ставрополь, Российская Федерация
- 2 Федеральное государственное бюджетное учреждение науки Институт сильноточной электроники Сибирского отделения Российской академии наук, Томск, Российская Федерация
- ³ ФГБОУ ВО «Северо-Осетинский государственный университет имени Коста Левановича Хетагурова», Владикавказ, Российская Федерация
- 4 ФГБОУ ВО «Московский государственный медико-стоматологический университет» имени А.И. Евдокимова Министерства здравоохранения Российской Федерации, Москва, Российская Федерация
- 5 ООО «ДЕНТА-СИТИ», г. Грозный, Чеченская республика

РЕЗЮМЕ

В данной работе проводилась исследование образиов для имплантационной хирургии основе титана и его сплавов: BT6 -BT6+Ti, BT6+Ti, BT6+ZrO, на биосовместимость и ангиогенез in vivo на модели хориоаллантоисной оболочки куриного эмбриона. В результате были получены количественные и качественных характеристики проведенных исследований, были выявлены наиболее подходящие условия и материалы для дальнейшего использования в имплантационной хирургии, даны оценки использования материалов на основе титана и его сплавов, подведены итоги биосовместимости образцов.

КЛЮЧЕВЫЕ СЛОВА: хориоаллантоисная мембрана, титан, имплантационная хирургия, биосовместимость, ангиогенез. **КОНФЛИКТ ИНТЕРЕСОВ.** Авторы заявляют об отсутствии конфликта интересов.

Investigation of biocompatibility and angiogenesis in vivo on a model of chorioallantois membrane of a chicken embryo of samples for implantation surgery based on titanium and its alloys

V.S. Botasheva¹, A.A. Dolgalev¹, D.Yu. Christoforando¹, S.N. Garaza¹, M.S. Vorobyev², D.Z. Choniashvili³, V.V. Sadovsky⁴, V.M. Avanisyan¹, G.K. Gezuyev⁵

- ¹ Federal State Budgetary Educational Institution of Higher Education «Stavropol State Medical University» of the Ministry Healthcare of the Russian Federation, Stavropol, Russian Federation
- ² Federal State Budgetary Institution of Science Institute of High-Current Electronics of the Siberian Branch of the Russian Academy of Sciences, Tomsk, Russian Federation
- ³ Federal State Budgetary Educational Institution of Higher Education «Kosta Levanovich Khetagurov North Ossetian State University», Vladikavkaz, Russian Federation
- ⁴ Federal State Budgetary Educational Institution of Higher Education «Moscow State Medical and Dental University named after A.I. Evdokimov of the Ministry of Health of the Russian Federation, Moscow, Russian Federation

⁵ DENTA-CITY LLC, Grozny, Chechen Republic

In this work, samples for implantation surgery based on titanium and its alloys: VT6, VT6+TiO, VT6+TiO, were studied for biocompatibility and angiogenesis in vivo on a model of chorioallantois membrane of a chicken embryo. As a result, quantitative and qualitative characteristics of the conducted studies were obtained, the most suitable conditions and materials for further use in implantation surgery were identified, estimates of the use of materials based on titanium and its alloys were given, and the biocompatibility of samples was summarized.

KEYWORDS: chorioallantoid membrane, titanium, implantation surgery, biocompatibility, angiogenesis.

CONFLICT OF INTEREST. The authors declare that they have no conflicts of interest.

Научно-исследовательская работа выполнена в рамках гранта РНФ «Разработка научных основ создания и перспектив применения биосовместимых покрытий на основе титана, циркония, ниобия и их сплавов с использованием вакуумно-дугового напыления с плазменным ассистированием для задач имплантационной хирургии» № 24-69-00074 (https://rscf.ru/project/24-69-00074/).

Введение

В настоящее время имплантология является наиболее активно развивающимся направлением медицины поскольку частота патологии, требующей ортопедического лечения, остается на высоком уровне и в перспективе не будет иметь тенденции к уменьшению [1, 5]. Остеоинтеграция имплантата определяется едиными механизмами пролиферации и остеогенной дифференцировки собственных стволовых мезенхимальных клеток, формирования клеток остеобластического ряда, создающих кость, которая в дальнейшем подвергается перестройке [3, 6]. Существует ряд методик увеличения числа стволовых клеток в регенерате. При наличии на поверхности имплантата жизнеспособных мезенхимальных стволовых клеток происходит ускорение процессов остеогенеза в области сформированного костного дефекта с формированием зрелой костной ткани, период альтерации и экссудативной фазы воспаления при неосложненном течении процесса проходит в те же сроки, что и в физиологических условиях, а увеличение капиллярного русла и хорошо выраженный ангиогенеза еще более подтверждают высокую пролиферативную активность клеток [2, 4, 7].

Целью работы явилось проведение оценки биосовместимости и ангиогенеза in vivo на моделе хориоаллантоисной оболочки (ХАО) куриного эмбриона образцов для имплантационной хирургии на основе титана и его сплавов.

Материалы и методы исследования

Проведены исследования 4 типов образцов из металлических изделий: BT6; BT6Ti, BT6+TiO $_2$, BT6+ZrO $_2$, нейтральный контроль.

Использовались следующие реактивы: 10% раствор нейтрального формалина забуференный, изопропиловый спирт, ксилол, парафин, гематоксилин, эозин, ветрогель, предметные стекла, покровные стекла.

Гистологическое исследование XAO проводили стандартным способом, образцы ткани XAO и капсулы фиксировали в 10% нейтральном забуференном формалине течении 3 суток, затем промывали в воде, проводили материал через спирты возрастающей крепости и заливали в парафин. Из парафиновых блоков готовили срезы толщиной 5 микронов. Срезы окрашивали гематоксилином и эозином, пикрофуксином по Ван Гизон.

Готовые микропрепараты просматривали в микроскопе Leica DM 1000. Микрофотосъемку осуществляли цифровой камерой DFC 420 программными обеспечением.

Результаты и выводы

Результаты проведенного исследования представлены отдельно для каждого из 4 типов образцов металлических излелий.

Гистологические изменения в хориоаллантоисной оболочке с использованием образца из стекла (1-я контрольная группа)

В препаратах представлены хориоаллонтоисная оболочка и соединительнотканная капсула вокруг стеклянной шайба. Хориоаллантоисная пластинка одинаковой толщины (рисунок 1).

Эпителий однослойный плоский, формирует эпителиальный тяж. Хорион представлен слоем крупных клеток овальной формы со светлой цитоплазмой.

Признаки воспалительной реакции не выявлены, признаки дистрофии и альтерации не обнаружены, образование грануляционной ткани и фиброз не наблюдается. Ангиогенез в ХАО хорошо выражен, сосудистые нарушения не выявлены. Капсула вокруг стеклянного образца образована соединительной тканью, состоящей из волокнистых структур, которые расположены параллельными рядами (рисунок 2).

Клеточные элементы в капсуле малочисленные, преобладают волокнистые структуры. Дистрофические, альтернативные и воспалительные изменения не выявлены.

Таким образом, в контрольном материале с использованием стеклянного образца токсическое влияние на XAO не обнаружено.



Рисунок 1. Хориоаллантоисная пластинка (контроль). Окраска: гематоксилином и эозином. Увеличение ×200

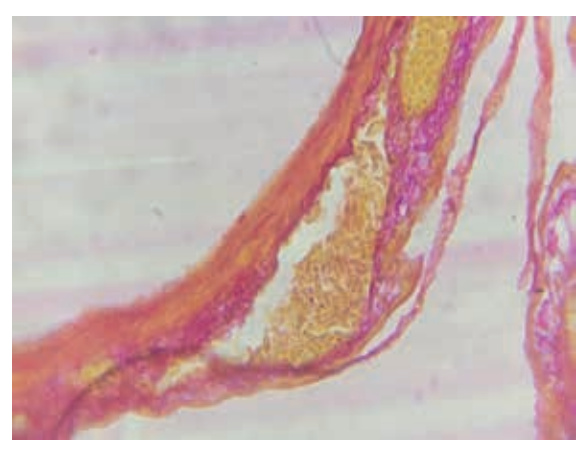


Рисунок 2. Соединительнотканная капсула вокруг стеклянного образца (контроль). Окраска: гематоксилином и эозином. Увеличение × 200

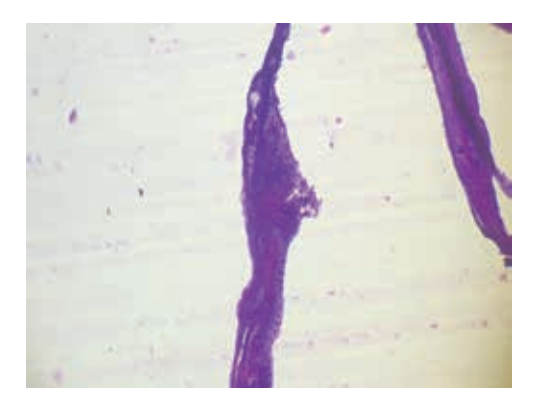


Рисунок 3. Утолщение хориоаллантоисной оболочки (2-я контрольная группа с использованием BT6). Окраска: гематоксилином и эозином. Увеличение ×200

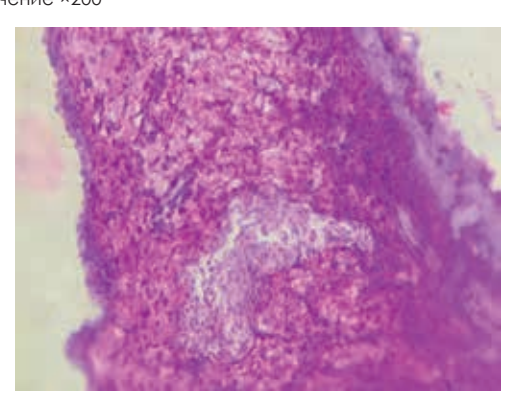


Рисунок 4. Дистрофические изменения клеток хориоаллантоисной мембраны (2-я контрольная группа с использованием ВТ6). Окраска: гематоксилином и эозином. Увеличение ×400

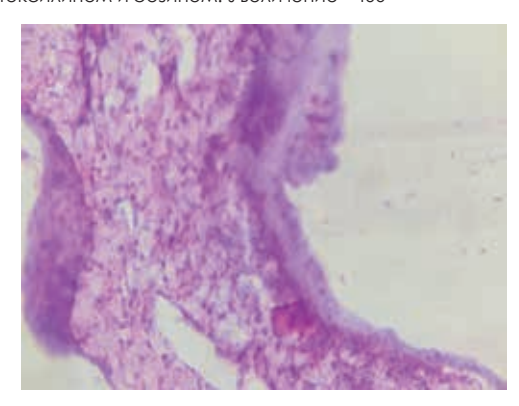


Рисунок 5. Кровоизлияния в хориоаллантоисную оболочку (2-я контрольная группа с использованием ВТ6). Окраска: гематоксилином и эозином. Увеличение Увеличение ×200

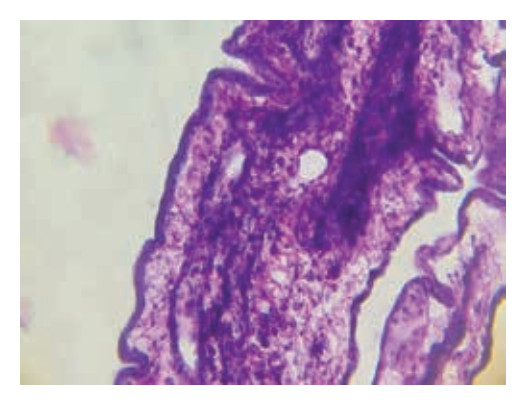


Рисунок 6. Воспалительная инфильтрация хориоаллантоисной оболочки лейкоцитами (2-я контрольная группа с использованием ВТ6). Окраска: гематоксилином и эозином. Увеличение ×200

Гистологические изменения в хориоаллантоисной оболочке с использованием BT6 (2-я контрольная группа)

В препаратах представлены хориоаллаптоисная пластинка и соединительнотканная капсула вокруг шайбы с ВТ6. В хориоаллантоисной пластинке обнаружены выраженные патологические изменения. ХАО неодинаковой толщины, местами значительно утолщены. Определяются дистрофические изменения клеток по типу белковой гидропической и баллонной дистрофии. В цитоплазме клеток видны вакуоли (гидропической дистрофии) (рисунок 3).

В отдельной группе клеток вся цитоплазма заполнена жидкостью, наблюдается баллонная дистрофия. Ядра пикнотичные, вытеснены на периферию клеток или полностью разрушена (кариолизис), что указывает на колликвационный некроз клеток (рисунок 4).

Наблюдаются выраженные дисциркуляторные нарушения в виде полнокровия сосудов, стазов. Определяются кровоизлияния в пластинку. При применении ВТ6 выявлены инфильтраты состоящие из лимфоцитов и макрофагов, что указывает на наличие иммунной воспалительной реакции (рисунок 5).

На месте контакта ХАО капсулой шайбы отмечаются усиленная пролиферация макрофагов и фибробластов. В соединительнотканной капсуле вокруг шайбы определяется дезорганизация соединительной ткани. В основном веществе наблюдаются признаки мукоидного и фибрино-идного набухание. Основное вещество разрушено с накоплением гликозамингликанов. Коллагеновые волокна набухшие, спаяны между собой, часть волокон разрушены. В соединительтканной капсуле обнаружены воспалительные инфильтраты. Инфильтраты состоят из лимфоцитов, макрофагов, гистиоцитов с примесью нейтрофилов (рисунок 6).

В хориоаллантоисной оболочке видны очаги некроза и кисты (рисунок 7).

Таким образом, при использовании шайбы с BT6 в аллонтоиднохориальной пластинке обнаружены дистрофические и деструктивные изменения, очаги некроза, дисциркуляторные нарушения кровоизлияниями, воспалительные процессы и иммунные реакции. В соединительнотканной капсуле наблюдаются процессы дезорганизации соединительной ткани и воспалительная реакция.

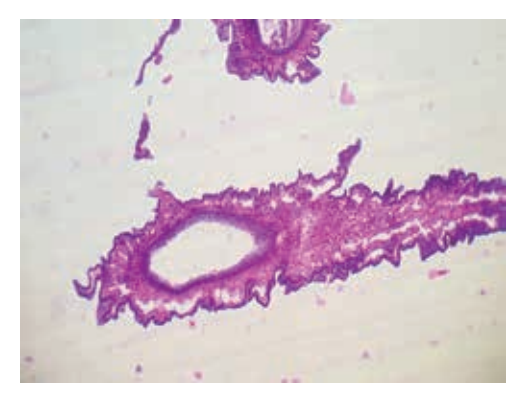


Рисунок 7. Множественные кисты в хориоаллатоисной оболочке (2-я контрольная группа с использованием ВТ6. Окраска: гематоксилином и эозином. Увеличение ×200

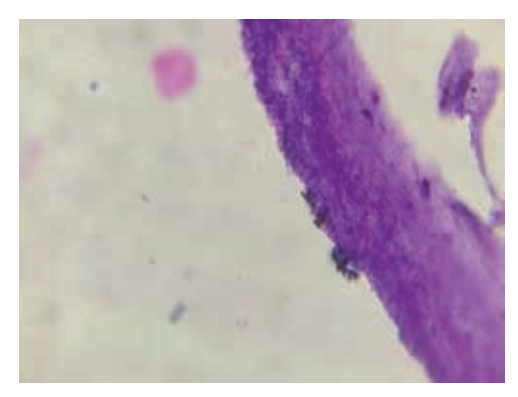


Рисунок 8. Эпителиальный покров хориоаллонтоисной оболочки сохранен (3-я контрольная группа). Окраска: гематоксилином и эозином. Увеличение ×400



Рисунок 9. Умеренное полнокровие сосудов хориоаллантоисной оболочки (3-я контрольная группа). Окраска: гематоксилином и эозином. Увеличение ×400



Рисунок 10. Кровоизлияния в хориоаллантоисную оболочку (2-я контрольная группа с использованием ВТ6). Окраска: гематоксилином и эозином. Увеличение Увеличение ×200



Рисунок 11. Воспалительная инфильтрация хориоаллантоисной оболочки лейкоцитами (2-я контрольная группа с использованием ВТ6). Окраска: гематоксилином и эозином. Увеличение ×200

Гистологические изменения в хориоаллантоисной оболочке с использованием образца с BT6+Ti (3-я контрольная группа)

В данной группе хориоаллантоисная пластинка местами неравномерна утолщена, эпителиальный покров сохранен (рисунок 8).

Очаги деструкции и некроза не обнаружены. Встречаются единичные клетки с признаками гидропической дистрофии. Баллонная дистрофия не выявлена, умеренно выражен ангиогенез. Отмечается полнокровие сосудов (рисунок 9), проницаемость стенки сосудов не нарушена.

Соединительнотканная капсула не изменена. Признаки дезорганизации основного вещества не выявлены. Коллагеновые волокна ориентированы паралленовыми пучками.

Таким образом, в 3-й контрольной группе с использованием BT6+Ti: тяжелые структурные изменения не обнаружены. Выявлены обратимые дистрофические изменения клеток (гидропическая дистрофия), умеренно выраженное полнокровие сосудах.

Гистологические изменения в хориоаллантоисной оболочке с использованием BT6+TiO₂ (1-я опытная группа)

В препаратах определяется хориоаллантоисная оболочка без видимых структурных нарушений. Оболочка одинаковой толщины на всем протяжении (рисунок 10).

Деструктивные изменения в виде повреждений и очагов некроза в оболочке не обнаружены. Признаки баллонной дистрофии не выявлены. Встречаются единичные клетки с признаками слабо выраженной гидропической дистрофии. Эпителиальные клетки, покрывающие оболочку без патологических изменений. Они расположены близко друг к другу и образуют сплошной клеточный тяж. Признаки воспалительной реакции отсутствуют. Хорошо выражен ангиогенез в оболочке (рисунок 11).

Гистологические изменения в хориоаллантоисной оболочке с использованием образцов BT6+ZrO₂.

В хориоаллантоисной оболочке дистрофические и деструктивные изменения не обнаружены. Очагов некроза и кист нет. Воспалительные изменения не выявлены. Ангиогенез на хорошем уровне. Признаки токсического влияния данного сплава отсутствуют.

Заключение

Резюмируя результаты проведенной оценки биосовместимости и ангиогенеза in vivo на модели хориоаллантоисной оболочки куриного эмбриона образцов для имплантационной хирургии на основе титана и его сплавов: ВТ6, ВТ6+Ті, ВТ6+ТіО, BT6+ZrO₂ выявлены структурные изменения. Наиболее тяжелые структурные изменения обнаружены при использовании ВТ6. В хориоаллантоисной оболочке выявлены тяжелые дистрофические изменения в виде гидропической и баллонной дистрофии клеток, очаги некроза с последующим образованием кист, выраженные воспалительные изменения с очаговой и диффузной лейкоцитарной инфильтрацией, разрастание соединительной ткани с формированием очагов фиброза, дисциркуляторные нарушения с полнокровием сосудов, гемостазами и кровоизлияниями. В соединительнотканной капсуле отмечаются процессы дезорганизации основного вещества с накоплением гликозамингликанов, набухание коллагеновых волокон по типу мукоидного набухания. Выраженная воспалительная реакция. При использовании ВТ6+Ті тяжелые деструктивные изменения не обнаружены. Выявлены обратимые дистрофические изменения по типу гидропической дистрофии и умеренно выраженные дисциркуляторные нарушения.

При использовании BT6+TiO, тяжелые деструктивные изменения в хориоаллантиоисной оболочке не обнаружены, имеются обратимые дистрофические изменения клеток. Воспалительная реакция отсутствует.

При использовании BT6+ZrO, в хориоаллантоиснеой оболочке дистрофические и деструктивные изменения отсутствуют. Воспалительная реакция не обнаружена. Ангиогенез хорошо выражен. Пролиферативная активность клеток высокая.

Сравнительная оценка токсического действия титана и его сплавов наиболее выражена при использовании ВТ6. Умеренная реакция наблюдается при BT6+Ti. В опытной группе BT6+TiO₂ слабо выраженно, а в группе BT6+ZrO₂ токсическое действие отсутствует. При использовании нейтрального образца признаки токсического действия не выявлены.

Следует учитывать, что настоящее исследование носит некоторые ограничения. Модель развивающегося куриного эмбриона и система ХАО не всегда могут в полной мере отражать картину реальной клинической ситуации и выступают в первую очередь в роли предварительного скринингового теста. Модель ХАО главным образом используется для краткосрочных исследований из-за относительно короткого срока инкубации. Кроме того, вещества, вводимые в воздушную камеру инкубационного

яйца, могут не соответствовать их количеству, поглощенному эмбрионом, так как могут распространиться и в другие структуры яйца. Поэтому для изучения долгосрочного эффекта и взаимодействия в ряде случаев очевидна целесообразность расширения спектра исследований тестируемых материалов на моделях млекопитающих.

Список литературы / References

- Baiquera S. Macchiarini P. & Ribatti D. (2012). Chorioallantoic membrane for billydeld 3, Maccridini 17, & Risburg 15, [2712]. Trisburg 18 in vivo investigation of fissue-engineered construct biocompatibility. Journal of Biomedical Materials Research Part B: Applied Biomaterials, 100(5), 1425–1434. DOI:10.1002/jbm.b.32653.
- Breban-Schwarzkopf D., Chioibas R., Macasoi I., Bolintineanu S., Marcovici I., Draghici & Szuhanek C. (2024). Comprehensive in vitro and in ovo assessment of cytotoxicity: Unraveling the impact of sodium fluoride, xylitol, and their synergistic associations in dental products. Biomolecules and Biomedicine, 24(4),
- ergistic associations in dental products. Biomolecules and Biomedicine, 24(4), 923–938. DOI:10.17305/bb.2024.10181.
 Fabricky M.M., Gabor A.G., Milutinovici R.A., Watz C.G., Avram Ş., Drăghici, G., ... & Sinescu C. (2021). Scaffold-Type Structure Dental Ceramics with Different Compositions Evaluated through Physicochemical Characteristics and Biosecurity Profiles. Materials, 14(9), 2266.
- Fernandes P.F., Grenho L., Fernandes M.H., Sampaio-Fernandes J.C., & Gomes P.S. (2023). Microgap and bacterial microleakage during the osseointegration peri-
- od: An in vitro assessment of the cover screw and healing abutment in a plat-form-switched implant system. The Journal of Prosthetic Dentistry, 130(1), 87–95. Gomes P.S., Zomorodia, A., Kwiatkowski L., Lutze R., Balkowiec A., Colaço B., ... & Fernandes M. H. (2016). In vivo assessment of a new multifunctional coating architecture for improved Mg alloy biocompatibility. Biomedical Materials, 11(4), 045007. DOI:10.1088/1748-6041/11/4/045007.
- Kennedy D.C., Coen B., Wheatley A.M., & McCullagh K.J. (2021). Microvascular experimentation in the chick chorioallantoic membrane as a model for screening angiogenic agents including from gene-modified cells. International journal of molecular sciences, 23(1), 452. DOI:10.3390/ijms23010452.

 Madureira M.A.B., Freitas K.M., Cruz C.D.L., Pedrosa T.A., Lopes R., Silva S.N.D., &
- Azevedo D.M.D.F.S. (2020). Análise das propriedades mecânicas e biológicas do cimento ósseo de fosfato de cálcio bifásico nanoestruturado de cura rápida. Matéria (Rio de Janeiro), 25. DOI:10.1590/\$1517-707620200004.1159.

Статья поступила / Received 25.10.2024 Получена после рецензирования / Revised 27.10.2024 Принята в печать / Accepted 28.10.2024

Информация об авторах

Боташева Валентина Салиховна¹, д.м.н., профессор кафедры патологической

E-mail: erkenoval@yandex.ru. ORCID: 0009-0008-7993-0900

Долгалев Александр Александрович¹, д.м.н., профессор кафедры стоматологии общей практики и детской стоматологии

E-mail: dolgalev@dolgalev.pro. ORCID: 0000-0002-6352-6750 Христофорандо Дмитрий Юрьевич¹, д.м.н., профессор кафедры хирургической стоматологии и челюстно-лицевой хирургии

E-mail: dima-plastic@rambler.ru. ORCID: https://orcid.org/0000-0002-2624-7453 Гаража Сергей Николаевич¹, д.м.н., профессор, заведующий кафедрой пропедевтики стоматологических заболеваний

E-mail: s.nik56@mail.ru. ORCID ID: https://orcid.org/0000-0002-3929-9252. SPIN KOA: 3191-4655

Воробьёв Максим Сергеевич², д.т.н., ведущий научный сотрудник E-mail: vorobyovms@yandex.ru. ORCID: http://orcid.org/0000-0001-5136-5905 Чониашвили Давид Зурабович³, к.м.н., доцент кафедры терапевтической, хирургиче-

ской и детской стоматологии с курсом имплантология, реконструктивная хирургия полости рта, детская ЧЛХ, декан медицинского факультета mail: davidchoniashvili@mail.ru

Садовский Владимир Викторович⁴, к.м.н., директор НИИАМС, доцент кафедры обезболивания в стоматологии E-mail: sadovskv@bk.ru

Аванисян Вазген Михайлович¹, врач стоматолог-ортопед, ассистент кафедры организации стоматологической помощи, менеджмента и профилактики стоматологических заболеваний

E-mail: avanvaz@yandex.ru. ORCID: https://orcid.org/0000-0002-0316-5957 SPIN-KOA: 1207-9234

Гезуев Гималай Казбекович⁵, врач стоматолог-ортопед, стоматолог-хирург E-mail: denta_city@mail.ru. ORCID: 0009-0009-8612-4234

- ¹ ФГБОУ ВО «Ставропольский государственный медицинский университет» Министерства здравоохранения Российской Федерации, Ставропол Российская Федерация
- ² Федеральное государственное бюджетное учреждение науки Институт сильноточной электроники Сибирского отделения РАН, Томск, Российская
- ФЕДРОЦИЯ
 ФГБОУ ВО «Северо-Осетинский государственный университет имени Коста Левановича Хетагурова», Владикавказ, Российская Федерация
 ФГБОУ ВО «Московский государственный медико-стоматологический университет» имени А.И. Евдокимова Министерства здравоохранения
- Российской Федерации, Москва, Российская Федерация 5 ООО «ДЕНТА-СИТИ», г. Грозный, Чеченская республика

Контактная информация:

Долгалев Александр Александрович. E-mail: dolgalev@dolgalev.pro

Для цитирования: Боташева В.С., Долгалев А.А., Христофорандо Д.Ю., Гаража С.Н., Воробьев М.С., Чониашвили Д.З., Садовский В.В., Аванисян В.М., Гезуев Г.К. Исследование биосовместимости и антиогенеза іп vivo на модели хриоаллантоисной оболочки куриного эмбриона образцов для имплантационной хирургии на основе титана и его сплавов // Медицинский алфавит. 2024; [28]:107–111. https://doi.org/10.33667/2078-5631-2024-28-107-111

Botasheva Valentina Salikhovna¹, MD, Professor of the Department of Pathological

E-mail: erkenoval@yandex.ru. ORCID: 0009-0008-7993-0900

Dolgalev Alexander Alexandrovich¹, MD, Professor of the Department of General Dentistry and Pediatric Dentistry

E-mail: dolgalev@dolgalev.pro. ORCID: 0000-0002-6352-6750

Khristoforando Dmitry Yuryevich¹, MD, Professor of the Department of Surgical Dentistry and Maxillofacial Surgery

F-mail: dolaaley@dolaaley.pro. ORCID: 0000-0002-6352-6750

Garaza Sergey Nikolaevich¹, MD, Professor, Head of the Department of Propaedeutics of Dental Diseases

E-mail: s.nik56@mail.ru. ORCID ID: https://orcid.org/0000-0002-3929-9252. SPIN KOA: 3191-4655

Vorobyov Maxim Sergeevich², Doctor of Technical Sciences, Leading Researcher E-mail: vorobyovms@yandex.ru. ORCID: http://orcid.org/0000-0001-5136-5905
Choniashvili David Zurabovich³, Candidate of Medical Sciences, Associate Professor of the Department of Therapeutic, Surgical and Pediatric Dentistry with a course in Implantology, reconstructive Surgery of the order cavity, pediatric CHLH, Dean of the Faculty of Medicine mail: davidchoniashvili@mail.ru

Sadovsky Vladimir Viktorovich⁴, Candidate of Medical Sciences, Director of NIIAMS, Associate Professor of the Department of Obesity in Dentistry E-mail: sadovsky@bk.ru

Avanisyan Vazgen Mikhailovich¹, prosthodontist, Assistant at the Department of Organization of Dental Care, Management and Prevention of Dental Diseases E-mail: avanvaz@yandex.ru. ORCID: https://orcid.org/0000-0002-0316-5957. SPIN-код: 1207-9234

Gezuvev Gimalai Kazbekovich⁵, freelance orthopedic dentist, dental surgeon E-mail: denta_city@mail.ru. ORCID: 0009-0009-8612-4234

- Federal State Budgetary Educational Institution of Higher Education «Stavropol State Medical University» of the Ministry Healthcare of the Russian Federation Stavropol, Russian Federation
- Federal State Budgetary Institution of Science Institute of High-Current Electronics of the Siberian Branch of the Russian Academy of Sciences, Tomsk, Russian Federation ³ Federal State Budgetary Educational Institution of Higher Education «Kosta Levanovich Khetagurov North Ossetian State University», Vladikavkaz, Russian Federation ⁴ Federal State Budgetary Educational Institution of Higher Education «Moscow State Medical and Dental University named after A.I. Evdokimov of the Ministry of Health of the Russian Federation, Moscow, Russian Federation

⁵ DENTA-CITY LLC, Grozny, Chechen Republic

Dolgalev Alexander Alexandrovich. E-mail: dolgalev@dolgalev.pro

For citation: Botasheva V.S., Dolgalev A.A., Christoforando D.Yu., Garaza S.N., Vorobyev M.S., Choniashvili D.Z., Sadovsky V.V., Avanisyan V.M., Gezuyev G.K. Investigation of biocompatibility and angiogenesis in vivo on a model of chorioallantois membrane of a chicken embryo of samples for implantation surgery based on titanium and its alloys // Medical alphabet. 2024; (28):107–111. https://doi.org/10.33667/2078-5631-2024-28-107-111

